

«ЛАКТЕСТ»

технически компетентная и независимая
аттестат аккредитации № РОСС RU.001.21CM10

443096 г. Самара, ул. Алексея Толстого, 72, телефон(факс) 310 - 24 -23,
310 - 24 - 82 email: Laktest@yandex.ru

ПРОТОКОЛ

**определения теплотехнических характеристик камня
керамического КПТП-V М100 (KERAKAM 44)
производства ЗАО СККМ г. Самара**

ОТВЕТСТВЕННЫЕ ИСПОЛНИТЕЛИ:



Г.И. ВАЙНГАРТЕН,
руководитель лаборатории,
кандидат технических наук

Г.А. Макаров,
Ведущий специалист

1. Заказчик: ЗАО «Самарский комбинат керамических материалов».

2 . Основание для проведения работ;
Договор № 24 от 20 мая 2014г с ЗАО СККМ г. Самара.

3 . Цель испытаний:

определить коэффициент теплопроводности камня керамического КПТП-V M100 (KERAKAM 44) в кладке в сухом состоянии, в условиях эксплуатации А и Б.

4. Сроки выполнения работ с 15 мая по 4 июня 2014 года.

5 . Объекты испытаний:

5.1 Образцы камня керамического крупноформатного пустотного с улучшенной теплоизоляцией КПТП-V M100 (KERAKAM-44) габаритные размеры камня 260x219x440мм;

- средний вес камня, переданного на испытания 18,8 кг;
- плотность (объемный вес) $\gamma=750 \text{ кг}/\text{м}^3$;
- пустотность 54,1%;

Марка по прочности M100.

Материалы, использованные при изготовлении:

- глина: Алексеевское II месторождение глинистого сырья, Киембаевское месторождение каолиновой глины;
- песок: месторождение «Ширяевское» ОАО «Самарский речной порт»;
- опилки: «ДОК» г. Самара, г. Ульяновск.

Представленные для испытания образцы камня отобраны методом случайной выборки и приняты группой по развитию качества ЗАО «Самарский комбинат керамических материалов». Акт отбора образцов от 12.05.2014г.

5.2 Фрагмент стены из камня керамического КПТП-V M100 (KERAKAM 44) размером 1820x1840x440 мм. Кладка (8 рядов по 7 камней в ряду) выполнена квалифицированными рабочими Заказчика. Вертикальные швы-пазогребневый стык, горизонтальные швы толщиной 11 мм - кладочный раствор марки 50, плотностью 1800 $\text{кг}/\text{м}^3$, состав раствора 1,0:0,9:8,0 (портландцемент М400: известь: песок) по объему, осадка конуса 9 см. В горизонтальных швах применена полимерная мелкоячеистая кладочная сетка. Стена покрыта с двух сторон известково-цементной штукатуркой толщиной 5 мм плотностью 1400 $\text{кг}/\text{м}^3$.

6. Методика испытаний:

6.1 Средняя плотность камней определена в соответствии с ГОСТ 7025-91 «Кирпич и камень керамические и силикатные. Методы определения водопоглощения, плотности и контроля морозостойкости».

6.2 **Влажность** определена в соответствии с ГОСТ 17177-94.

6.3 **Коэффициент теплопроводности определен** в соответствии с ГОСТ 26254-84 «Здания и сооружения. Методы определения сопротивления теплопередаче ограждающих конструкций», ГОСТ 530-2012 «Кирпич и камень керамические. Общие технические условия».

7. Оборудование для испытаний:

7.1 Камера климатическая КК 100805-4,4, аттестованная в соответствии с ГОСТ 25051-82. Камера проходит ежегодную поверку в ФБУ «Самарский ЦСМ», Аттестат № 3746 от 14.12.2012г. действителен до 14.12.2013г. Камера выполнена в виде моноблока размером 2,3x3,2x2,24м, разделенного внутренней перегородкой на изолированные теплое и холодное отделения объемом 7,6 и 4,4 м³ соответственно. В теплом отделении диапазон температур составляет от 18 до 50°C при относительной влажности воздушной среды от 25 до 60%. Температура создается с помощью электрических нагревательных устройств и поддерживается вручную с точностью ±0,2°C. В холодном отделении диапазон температур составляет от 0 до -35°C с помощью компрессорно-реверсивного аппарата модели LH53/2DC-2.2Y итальянского производства. Заданная температура поддерживается автоматически с точностью ±1°C.

7.2 Камера укомплектована измерителем тепловых потоков и температуры ИТП-МГ4.03-100»Поток» производства СКБ «Стройприбор» г. Челябинск. Свидетельство о поверке №8158 от 14.05.2014г. действительно до 14.05.2015г.

7.3 Дополнительно температура на поверхности кладки контролировалась термометром радиационным Mini Temp MT6 производства Германии.

7.4 Для определения плотности и влажности камней и кладки использованы:

- шкаф сушильный ШСП-0,25-60 по ОСТ 16.0.801.397, аттестат №2815 от 16.12.2013г, действителен до 16.12.2014г;
- весы лабораторные технические модели «Т-II-500» по ГОСТ 24104, свидетельство о поверке №718156/ 220449-2013 от 6.12.2013г, действительно до 6.12.2014г;
- стаканчики типа СВ по ГОСТ 25336;
- эксикатор по ГОСТ 25336.

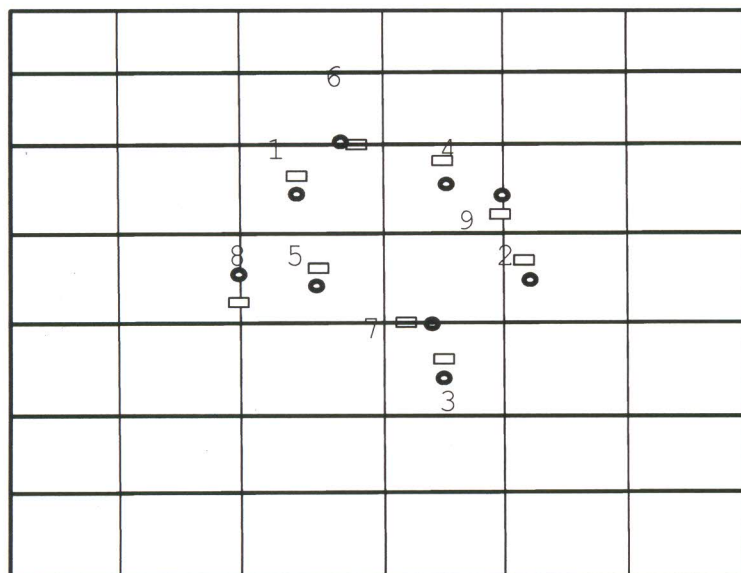
7.5 Для измерения температуры и влажности воздушной среды в климатической камере использован термо-гигрометр «testo 605-H1» производства Германии. Для контроля влажности кладки

дополнительно использован измеритель влажности testo 606-2 производства Германии.

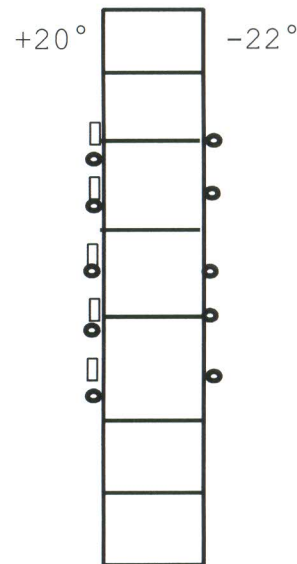
8. Проведение испытания

8.1 На внутренней поверхности фрагмента стены устанавливались датчики температуры и тепловых потоков, на наружной поверхности – датчики температуры рис.1. Датчики крепились с помощью теплопроводной кремнийорганической пасты КПТ-8 по ГОСТ 19783-74.

8.2 Датчики устанавливались в горизонтальных швах (датчики №6, 7), вертикальных швах (датчики №8, 9) и на поверхности камней (датчики №1, 2, 3, 4, 5) с учетом термически однородных зон камня. При определении термически однородных зон принято во внимание наличие пустот в камнях.



Вид внутренней поверхности стены



вид сбоку

Рис. 1. Схема расположения датчиков на поверхности стены

Условные обозначения:

- датчик температуры
- датчик теплового потока

Датчики температуры на наружной поверхности стены устанавливались в точках, противоположных датчикам температуры внутренней поверхности стены.

8.3 Испытания проведены при условиях:

- температура воздушной среды теплого отделения климатической камеры $+20 \pm 0,5^{\circ}\text{C}$ при относительной влажности 40%. Температура регулировалась вручную с помощью электрических нагревательных элементов;
- температура воздушной среды холодного отделения климатической камеры $-30 \pm 1^{\circ}\text{C}$ при начальной относительной влажности воздуха 40%. Температура поддерживалась в автоматическом режиме.

8.4 Испытания проведены в два этапа.

8.4.1 **Первый этап** испытаний включал в себя естественную и принудительную сушку фрагмента стены в течение 10 дней и в дальнейшем тепловые испытания.

8.4.2 В течение первых трех суток испытаний был достигнут стационарный режим теплопередачи через фрагмент стены, в последующие сутки с интервалом в 2-3 часа измерены текущие значения температуры и тепловых потоков.

8.4.3 Текущие значения параметров, измеренных за период наблюдения, приведены в таблице №1

Результаты первого этапа испытания фрагмента стены из камня керамического КПТП-IV при влажности кладки 2,6%.

Таблица №1

Текущие значения температуры на внутренней поверхности стены t_b , $^{\circ}\text{C}$			Среднее значение t_b	Текущие значения температуры на наружной поверхности стены t_b , $^{\circ}\text{C}$			Среднее значение t_h , $^{\circ}\text{C}$	Текущие значения плотности тепловых потоков q , $\text{Вт}/\text{м}^2$			Среднее значение q
18,8	18,1	18,6	18,5	12,9	12,2	12,4	-12,5	10,62	10,88	10,69	10,73

8.4.4 Влажность кладки измерялась по окончанию испытаний.

8.4.5 **Второй этап** испытаний проведен после сушки фрагмента стены в течении 7 дней.

8.4.6 Испытания проведены аналогично первому этапу.

8.4.7 Текущие значения параметров, измеренных за период наблюдения, приведены в таблице №2.

Результаты второго этапа испытания фрагмента стены из камня керамического КПТП-IV при влажности кладки 0,7%.

Таблица №2

Текущие значения температуры на внутренней поверхности стены t_b , $^{\circ}\text{C}$			Среднее значение t_b	Текущие значения температуры на наружной поверхности стены t_b , $^{\circ}\text{C}$			Среднее значение t_h , $^{\circ}\text{C}$	Текущие значения плотности тепловых потоков q , $\text{Вт}/\text{м}^2$			Среднее значение q
18,6	17,9	18,4	18,1	12,5	11,9	12,8	-12,4	9,88	9,75	10,1	9,91

9. Обработка результатов испытаний.

9.1 Согласно ГОСТ 26254-84 сопротивление теплопередаче термически однородной зоны ограждающей конструкции определяется уравнением

$$R_{\kappa_i} = (t_b - t_h) / q_\phi \quad (1)$$

R_{κ_i} - термическое сопротивление однородной зоны ограждающей конструкции, $(\text{м}^2 \cdot ^\circ\text{C}) / \text{Вт}$;

t_b и t_h - средние за расчетный период измерений значения температур соответственно внутренней и наружной поверхностей ограждающей конструкции, $^\circ\text{C}$;

q_ϕ - средняя за расчетный период измерения фактическая плотность теплового потока, $\text{Вт}/\text{м}^2$.

Приведенное термическое сопротивление $R_{\kappa_i}^{pr}$ ограждающей конструкции, имеющей неравномерность температур поверхностей (в нашем случае наличие нескольких термически однородных зон), вычисляется по формуле

$$R_{\kappa_i}^{pr} = F / (\sum F_i / R_{oi}) \quad (2)$$

Где F - площадь испытываемой ограждающей конструкции, м^2

F_i - площадь термически однородной зоны, определяемой планиметрированием, м^2 .

В нашем случае:

общая площадь фрагмента стены, F	3,3488	м^2
зона горизонтальных растворных швов, F_i	0,14014	м^2
зона поверхности камня, F_i	3,20866	м^2
в т. ч. зона пазогребневых соединений	0,1656	м^2

На основании полученных данных вычислено средневзвешенное значение температуры на внутренней поверхности стены:

$$\begin{aligned} \text{Этап испытаний №1 } t_b &= (\sum t_i F_i) / (\sum F_i) \quad t_b = 18,5^\circ\text{C}. \\ \text{Этап испытаний №2 } t_b &= (\sum t_i F_i) / (\sum F_i) \quad t_b = 18,1^\circ\text{C}. \end{aligned} \quad (3)$$

Вычислено средневзвешенное значение температуры на наружной поверхности стены:

$$\begin{aligned} \text{Этап испытаний №1 } t_h &= (\sum t_i F_i) / (\sum F_i) \quad t_h = -12,5^\circ\text{C}. \\ \text{Этап испытаний №2 } t_h &= (\sum t_i F_i) / (\sum F_i) \quad t_h = -12,39^\circ\text{C}. \end{aligned} \quad (4)$$

Вычислено средневзвешенное значение плотности тепловых потоков

$$\text{Этап испытаний №1 } q_{cp} = (\sum q_i F_i) / (\sum F_i) \quad q_{cp} = 10,73 \text{ Вт}/\text{м}^2.$$

$$\text{Этап испытаний №2 } q_{cp} = (\sum q_i F_i) / (\sum F_i) \quad q_{cp} = \mathbf{9,90} \text{ Вт/м}^2. \quad (5)$$

Определено приведенное термическое сопротивление стены с учетом фактической влажности:

$$\begin{array}{ll} \text{Этап испытаний №1} & R_k = \Delta t / q_{cp} \quad R_k^{pr} = \mathbf{2,89} \text{ м}^2 \cdot {}^\circ\text{C/Вт.} \\ \text{Этап испытаний №2} & R_k = \Delta t / q_{cp} \quad R_k^{pr} = \mathbf{3,21} \text{ м}^2 \cdot {}^\circ\text{C/Вт.} \end{array} \quad (6)$$

По значению R_k^{pr} вычислен эквивалентный коэффициент теплопроводности λ_{ekv} .

$$\lambda_{ekv}(\omega) = \delta / R_k \text{ где } \delta \text{ толщина кладки, м}$$

$$\begin{array}{l} \text{Этап испытаний №1 } \omega = 2,1 \quad \lambda_{ekv} = 0,440 / 2,89 = 0,152 \text{ Вт/(м} \cdot {}^\circ\text{C)} . \quad (7) \\ \text{Этап испытаний №2 } \omega = 1,3\% \quad \lambda_{ekv} = 0,440 / 3,21 = 0,137 \text{ Вт/(м} \cdot {}^\circ\text{C)} . \end{array}$$

Построен график зависимости эквивалентного коэффициента теплопроводности от влажности кладки $\Delta\lambda_{ekv}$, Вт/(м \cdot °C) рис. 2

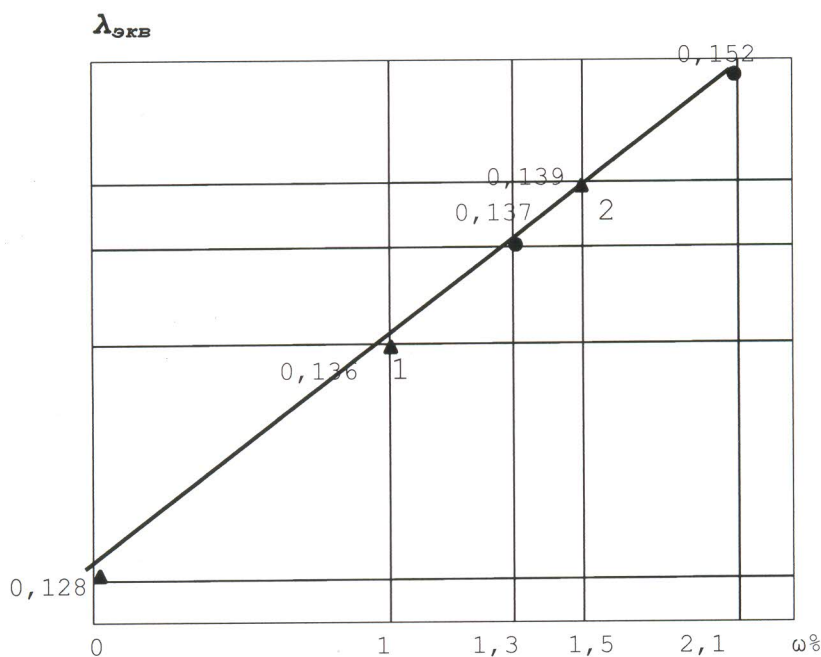


Рис. 2

График зависимости коэффициента теплопроводности от влажности кладки

На графике ● точками показаны экспериментальные значения теплопроводности кладки при влажности 2,1 и 1,3%. Точками ▲ показаны расчетные значения в сухом стоянии и при влажности 1% (условия эксплуатации А) и 1,5% (условия эксплуатации Б)

Определено изменение значения λ_{ekv} на один процент влажности $\Delta\lambda_{ekv}$ по формуле

$$\Delta\lambda_{ekv} = (\lambda_{ekv1} - \lambda_{ekv2}) / (\omega_1 - \omega_2) \quad (8)$$

$$\Delta\lambda_{ekv} = (0,152 - 0,137) / (2,1 - 1,3) = 0,011$$

Коэффициент теплопроводности кладки в сухом состоянии λ_0 вычислен по формуле

$$\Lambda_{o1} = \Delta\lambda_{\text{экв1}} - \omega_1 \cdot \Delta\lambda_{\text{экв1}} = 0,152 - 2,1 \times 0,011 = 0,129 \text{ Вт/}(\text{м}\cdot^{\circ}\text{C}) \text{ или} \quad (9)$$

$$\Lambda_{o2} = \Delta\lambda_{\text{экв2}} - \omega_2 \cdot \Delta\lambda_{\text{экв2}} = 0,137 - 1,3 \times 0,011 = 0,123 \text{ Вт/}(\text{м}\cdot^{\circ}\text{C}) \quad (10)$$

$$\Lambda_0 = (\Lambda_{o1} + \Lambda_{o2}) / 2 = 0,128 \text{ Вт/}(\text{м}\cdot^{\circ}\text{C})$$

10. Расчетные значения коэффициента теплопроводности кладки из камня КПТП-V M100 (KERAKAM-44) для условий эксплуатации А и Б.

Массовое отношение влаги в кладке (ω) в условиях эксплуатации А согласно таблице Г.2 ГОСТ 530-2012г составляет 1%, в условиях эксплуатации Б - 1,5%.

На основании расчетов (формулы 9,10) и графика рис.2 найдены значения коэффициента теплопроводности:

$$\lambda_{oA} = 0,136 \text{ Вт/}(\text{м}\cdot^{\circ}\text{C}) \text{ (точка №1 рис.2 условия эксплуатации А)}$$

$$\lambda_{oB} = 0,139 \text{ Вт/}(\text{м}\cdot^{\circ}\text{C}) \text{ (точка №2 рис. 2 условия эксплуатации Б)}$$

11. Выводы:

11.1 По результатам испытаний коэффициент теплопроводности кладки из камня керамического КПТП-V M100 (KERAKAM-44) в сухом состоянии $\lambda_0 = 0,128 \text{ Вт/}(\text{м}\cdot^{\circ}\text{C})$.

11.2 Для условий эксплуатации А (1% влажности) $\lambda_{oA} = 0,136 \text{ Вт/}(\text{м}\cdot^{\circ}\text{C})$.

Для условий эксплуатации Б (1,5% влажности) $\lambda_{oB} = 0,139 \text{ Вт/}(\text{м}\cdot^{\circ}\text{C})$.

11.3 По измеренным показателям камень керамический КПТП-V M100 (KERAKAM-44) производства ЗАО «Самарский комбинат керамических материалов» соответствует ГОСТ 530-2012 и относится к группе изделий высокой эффективности по теплотехническим характеристикам.

Руководитель лаборатории к.т.н.
Г.И. Вайнгартен



Ведущий специалист
Г.А. Макаров

Перечень нормативно-технической документации:

1. ГОСТ 530-2012 «Кирпич и камень керамические. Общие технические условия».
2. ГОСТ 26254-84 «Здания и сооружения. Методы определения сопротивления теплопередаче ограждающих конструкций».
3. ГОСТ 25380-82 «Здания и сооружения. Метод измерения плотности тепловых потоков, проходящих через ограждающие конструкции».
4. ГОСТ 7025-91 «Кирпич и камень керамические и силикатные. Методы определения водопоглощения, плотности и контроля морозостойкости».
5. СНиП 23-02-2003 «Тепловая защита зданий».